

I-3 Buffer plate の弾性座屈について

北海学園大学 正員 ○高橋義裕
 北海道大学 正員 能町純雄
 北海道大学 正員 角田与史雄

1. まえがき

最近、海中大型基礎に船舶衝突した場合を想定し、衝突による双方の被害を最少限に抑えるための緩衝工を設置する要求が増々高まっている。その構造としては、衝突エネルギーを十分に吸収するものでなければならぬ。その一例として図-1に示される垂直板、水平板、スキッププレート、互違いに配置されたダイヤフラムからなる多室型緩衝工を考えることができる。この多室型緩衝工は、鉛直方向にはある程度の強度を有し、衝突方向には、弱い強度を有する構造となっている。本論文では、エネルギー吸収に大きく影響を及ぼすと思われる水平板(いわゆる Buffer plate)の弾性座屈を検討する。水平板の支持条件、境界条件は複雑であるが、本論文では、周辺単純支持とした。解析手法は、補剛材(ダイヤフラム)の効果を考慮した有限帯板法を用いている。

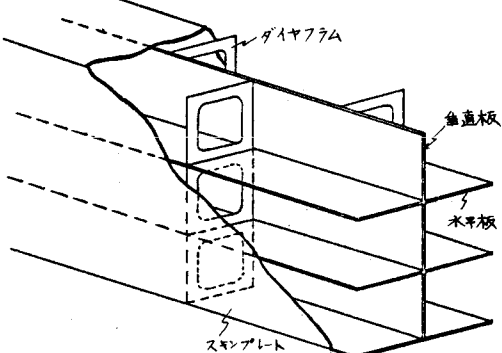


図-1

2. 解析方法

図-1から取り出した Buffer plate を図-2に示す。作用する衝突外力を有する荷重幅を有する荷重強度なる静荷重にモデル化し作用せしむ。図-2の Buffer plate から斜線で示した幅 b 、長さ a と、補剛材を含む $b \times l$ の帶板要素を取り出す。取り出した補剛材 N 本を有する帶板要素を取り出せ。図-3(a)は、座屈前応力分布 σ_0 , σ_0^* , σ_{0y}^* を、図-3(b)は、遠界断面力 T , S , Q , M と対応する変位 U , V , W , Θ を、図-3(c)は、座標系を示している。図-4は、補剛材の局所座標を示している。補剛材を含まない帶板要素の剛性行列および安定係数行列の導入については、すでに述べられているので、補剛材の剛性行列及び

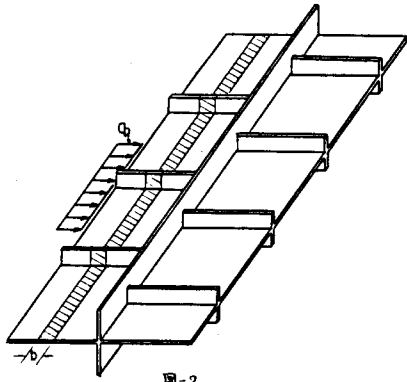


図-2

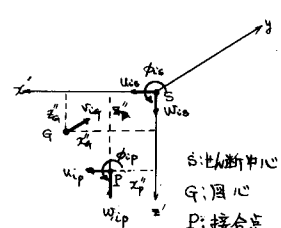
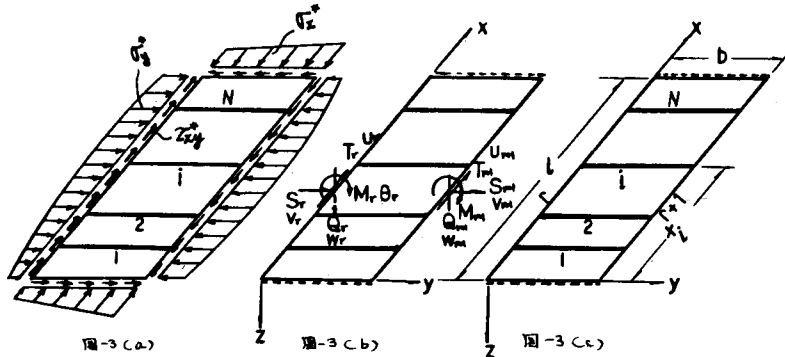


図-4

定係数行列ヒリスミニズは並ぶ。図-4 のせん断中心軸における変位 (ϕ_{is} , U_{is} , V_{is} , W_{is}) を接合直線上における変位 (ϕ_{ip} , U_{ip} , V_{ip} , W_{ip}) で表わすと次のようになる。

$$\left. \begin{aligned} \phi_{is} &= \phi_{ip} \\ W_{is} &= W_{ip} - x_p'' \phi_{ip} \\ U_{is} &= U_{ip} + z_p'' \phi_{ip} \\ V_{is} &= V_{ip} + (z_p'' + z_q'') \left(\frac{dV_{ip}}{dy} - x_p'' \frac{d\phi_{ip}}{dy} \right) + (x_p'' - x_q'') \left(\frac{dU_{ip}}{dy} + z_p'' \frac{d\phi_{ip}}{dy} \right) \end{aligned} \right\} \quad (1)$$

筋線Pに接合されている第*i*番目の補剛材のポテンシャルエネルギー- Π_i は次のようになる。

$$\begin{aligned} \Pi_i &= \frac{1}{2} E A_i \int_0^b \left(\frac{dV_{is}}{dy} \right)^2 dy + \frac{1}{2} E I_{xi} \int_0^b \left(\frac{d^2 W_{is}}{dy^2} \right)^2 dy + \frac{1}{2} E I_{zi} \int_0^b \left(\frac{d^2 U_{is}}{dy^2} \right)^2 dy + \frac{1}{2} G K_{Tc} \int_0^b \left(\frac{d\phi_{is}}{dy} \right)^2 dy \\ &\quad + \frac{1}{2} E I_{wi} \int_0^b \left(\frac{d^2 \phi_{is}}{dy^2} \right)^2 dy - \frac{1}{2} A_i \int_0^b \partial_y^* \left\{ \left(\frac{dU_{is}}{dy} \right)^2 + \left(\frac{dV_{is}}{dy} \right)^2 + \left(\frac{dW_{is}}{dy} \right)^2 \right\} dy \end{aligned} \quad (2)$$

ミニズ, A_i = 第*i*番目補剛材の断面積, $E I_{xi}$ = 囲心軸を直りy軸に平行な軸まわりの曲げ剛度, $E I_{zi}$ = 囲心軸を直りy軸に平行な軸まわりの曲げ剛度, $E I_{wi}$ = 曲げねじり剛度, $G K_{Tc}$ = St. Venant のねじり剛度である。また、長方形断面補剛材が平板に垂直に接合されている場合は、 $x_p'' = 0$, $z_p'' = z_q''$, $x_p'' = x_q'' = 0$ である。従って、補剛材N本を含めた帯板要素の全ポテンシャルエネルギー- Π は次のようになる。

$$\begin{aligned} \Pi &= \frac{1}{2} D \int_0^l \int_0^b \left[\left(\frac{\partial^2 w}{\partial x^2} + \frac{\partial^2 w}{\partial y^2} \right)^2 - 2(1-\nu) \left\{ \frac{\partial^2 w}{\partial x^2} \frac{\partial^2 w}{\partial y^2} - \left(\frac{\partial^2 w}{\partial x \partial y} \right)^2 \right\} \right] dx dy \\ &\quad + \frac{1}{2} D' \int_0^l \int_0^b \left\{ \left(\frac{\partial u}{\partial x} \right)^2 + \left(\frac{\partial v}{\partial y} \right)^2 + 2\nu \left(\frac{\partial u}{\partial x} \times \frac{\partial v}{\partial y} \right) + \frac{1}{2}(1-\nu) \left(\frac{\partial v}{\partial x} + \frac{\partial u}{\partial y} \right)^2 \right\} dx dy \\ &\quad + \sum_{i=1}^N \left[\frac{1}{2} E A_i \int_0^b \left(\frac{dV_{is}}{dy} \right)^2 dy + \frac{1}{2} E I_{xi} \int_0^b \left(\frac{d^2 W_{is}}{dy^2} \right)^2 dy + \frac{1}{2} E I_{zi} \int_0^b \left(\frac{d^2 U_{is}}{dy^2} \right)^2 dy \right. \\ &\quad \left. + \frac{1}{2} G K_{Tc} \int_0^b \left(\frac{d\phi_{is}}{dy} \right)^2 dy + \frac{1}{2} E I_{wi} \int_0^b \left(\frac{d^2 \phi_{is}}{dy^2} \right)^2 dy - \frac{1}{2} A_i \int_0^b \partial_y^* \left\{ \left(\frac{dU_{is}}{dy} \right)^2 \right. \right. \\ &\quad \left. \left. + \left(\frac{dV_{is}}{dy} \right)^2 + \left(\frac{dW_{is}}{dy} \right)^2 \right\} dy \right] - \frac{1}{2} t \int_0^l \int_0^b \partial_x^* \left\{ \left(\frac{\partial u}{\partial x} \right)^2 + \left(\frac{\partial v}{\partial x} \right)^2 + \left(\frac{\partial w}{\partial x} \right)^2 \right\} dx dy \\ &\quad - \frac{1}{2} t \int_0^l \int_0^b \partial_y^* \left\{ \left(\frac{\partial u}{\partial y} \right)^2 + \left(\frac{\partial v}{\partial y} \right)^2 + \left(\frac{\partial w}{\partial y} \right)^2 \right\} dx dy - t \int_0^l \int_0^b \partial_x^* \left\{ \left(\frac{\partial u}{\partial x} \times \frac{\partial u}{\partial y} \right) + \left(\frac{\partial v}{\partial x} \times \frac{\partial v}{\partial y} \right) + \left(\frac{\partial w}{\partial x} \times \frac{\partial w}{\partial y} \right) \right\} dx dy \\ &\quad - \int_0^l \left\{ T_{r+1,r} U_r + S_{r,r+1} V_r + Q_{r,r+1} W_r + M_{r,r+1} \theta_r \right\} + \left\{ T_{r+1,r} U_{r+1} + S_{r+1,r} V_{r+1} + Q_{r+1,r} W_{r+1} + M_{r+1,r} \theta_{r+1} \right\} dx \end{aligned} \quad (3)$$

$$z = D = E l^3 / 12(1-\nu^2), \quad D' = E t / (1-\nu^2), \quad \nu = ポアソン比, \quad \text{である。}$$

面内変位、座屈前応力分布を短辺方向に関し一次式、面外変位を三次式に仮定する。また軸方向両端を肉し、面外変位に対し単純支持、面内変位に対し自由となるようフーリエ級数展開する。補剛材に関し、展開形を具体的に表現すると次のようになる。

$$\left. \begin{aligned} \phi_{ip} &= \frac{\partial w}{\partial x} \Big|_{x=x_c} = b_o \sum_{m=1}^{\infty} \frac{m\pi}{l} \left\langle N_i(\eta) \right\rangle \left\{ W_m \right\} \cos \frac{m\pi}{l} x_c \\ W_{ip} &= b_o \sum_{m=1}^{\infty} \left\langle N_i(\eta) \right\rangle \left\{ W_m \right\} \sin \frac{m\pi}{l} x_c \end{aligned} \right\} \quad (4)$$

$$U_{ip} = b_0 \sum_{m=1}^{\infty} \langle N_2(\eta) \rangle \{ W_m \} \sin \frac{m\pi}{l} x_i$$

$$V_{ip} = b_0 \sum_{m=1}^{\infty} \langle N_3(\eta) \rangle \{ W_m \} \sin \frac{m\pi}{l} x_i$$

ただし $\langle N_1(\eta) \rangle = \langle 0, 0, (1-3\eta^2+2\eta^3), 3(-\eta^2+\eta^3), 0, 0, (3\eta^2-2\eta^3), 3(-\eta^2+\eta^3) \rangle$
 $\langle N_2(\eta) \rangle = \langle (1-\eta), 0, 0, 0, \eta, 0, 0, 0 \rangle$
 $\langle N_3(\eta) \rangle = \langle 0, (1-\eta), 0, 0, 0, \eta, 0, 0 \rangle$

$$\lambda = \frac{b}{b_0}, \quad \eta = \frac{x}{b}, \quad b_0 = \text{基準板幅}$$

$$\{ W_m \}^T = \langle L_{r.m}/b_0, V_{r.m}/b_0, W_{r.m}/b_0, \Theta_{r.m}/b_0, L_{rh.m}/b_0, V_{rh.m}/b_0, W_{rh.m}/b_0, \Theta_{rh.m}/b_0 \rangle$$

である。

従つ式(1), (4)を式(3)に代入しボテンシャルエネルギー傳留の原理を用いることにキリミ出されたフーリエ係数を与えらるる補剛材を含めた帯板要素の剛性方程式が次のように得られる。

$$\{ f_m \}_e = [K_m]_e \{ S_m \}_e + \sum_{n=1}^{\infty} [K_{m,n}^s]_e \{ S_n \}_e - \lambda \sum_{n=1}^{\infty} [K_{m,n}^q]_e \{ S_n \}_e \quad (5)$$

ここで $\{ f_m \}_e, \{ S_m \}_e$ はそれぞれ接線外力ベクトル、接線変位ベクトルであり、 $[K_m]_e, [K_{m,n}^s]_e, [K_{m,n}^q]_e$ は、それぞれ板要素の剛性マトリックス、補剛材の剛性マトリックス、座屈前応力からなる安定係数マトリックス、入は座屈荷重強度を与える指標である。以上より系全体の剛性方程式が直角の座標合せにより得られ、結局系の座屈問題は $|[K] - \lambda [K^q]| = 0$ の固有方程式を解くことになり、入はその固有値として来る。

3. 数値計算

数値計算は、図-5で示される断面諸元で補剛材を3本、5本、7本を用いた場合と Buffer plate について行なった。板厚はすべて 6mm 、要素分割は、幅 $H=200\text{mm}$ の水平板を8分割、高さ 100mm の垂直板を4分割とした。荷重分布は、スパン中央に対し対称とし、荷重中心に補剛材がある場合と、無い場合について考えた。計算結果は次式で整理した。

$$q_{cr} = K \frac{D \pi^2}{l^2} \quad (6)$$

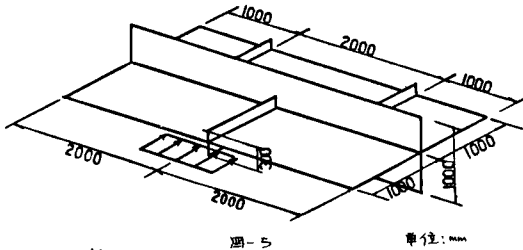


図-5

図-6、図-7、図-8は、それぞれ補剛材3本、5本、7本の場合について、横軸に座屈係数を、横軸に c/l をとり、 c/l の関係を示したものである。これらの図より c/l が小さい領域では、荷重中心に位置に補剛材がある場合となり場合とでは、その座屈係数に大きな差違を見らるが、 c/l の値が $2/3$ を越える領域では、補剛材配置の差異による座屈係数の差は見られない。スパン全幅に荷重が作用する ($c/l = 1.0$) 場合について、補剛材3本、5本、7本の場合について、補剛材3本を

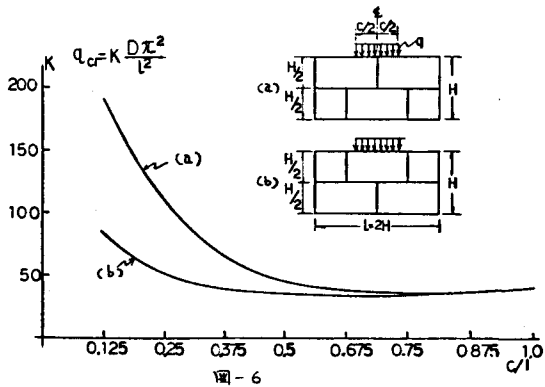


図-6

基準にして、その座屈係数を比較すると5本の場合
は、約2.7倍、7本の場合は、約5倍となつてゐる。

図-9は、 $P_{cr} = (c/c_0) \alpha_r = k' D \pi^2 / H$ の結果を整理したものである。縦軸に c/H 、横軸に C/L とし
 $k' - c/H$ の関係を示したものである。いま H を一定と
していゝたまに c/L の変化は全作用荷重 P_{cr} の変化に対
応する。荷重中心に補剛材がある場合には、 $c/H=0.5$ 付
近で長さが極小値となる。しかし、荷重中心に補剛材か
ない場合には、そのような極値をとらずほぼ一様に増
加し、 $c/H=1.0$ 附近で两者は、ほぼ一致していゝようだ
す。

4. あと書き

以上 水平板、垂直板、補剛材(ダイヤフラム)からなる Buffer plate を周辺単純支持にモデル化し、片側縁に荷重が作用する場合の弾性座屈について補剛材効果を考慮した有限帯板法を用いて解析した。断面形状、補剛材形状及び間隔を一定とし、 L/H 及び c/L (c/H) を変化させたときの座屈係数の変化を調べた。

計算結果をまとめると次のようになる。

1). $P_{cr} = k' D \pi^2 / L^2$ の結果を整理し、長さ c/L の関
係を示す図-6、図-7、図-8より c/L が約 $2/3$ を越える
領域では、その座屈係数は、荷重中心に補剛材か
らる場合と無り場合とでは、差異はないなど見られ
ないが、それより小さい領域では、差異があり、そ
こを見ること。

2). $P_{cr} = (c/c_0) \alpha_r = k' D \pi^2 / H$ の結果を整理し、
 $k' - c/H$ の関係を示す図-9により荷重中心に補剛材か
らる場合 $c/H=0.5$ 附近で c/L は極小値となり c/H の増加と
ともに P_{cr} は、ほぼ一様に増加する。荷重中心に補剛材
がない場合は、極値をとらず c/H の増加とともに一
様に P_{cr} は、増加し、 $c/H=1.0$ 附近で两者は一致する。

本研究の遂行にあたり有段な御示唆をうえくお
ざりました中山義昭(株)日本鋼管)室長に謝意を
表します。数値計算には、北海道大学大型計算センター
の HITAC-M200H を使用した。

参考文献

り能町純雄、角田与史雄、本多祐世、高橋義裕：局
部的荷重を受けた薄肉断面部材の弾性座屈挙動につき、
マトリックス解析法研究報告論文集、1981.7.

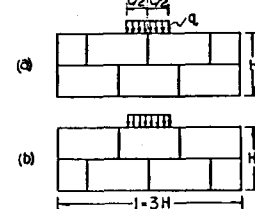
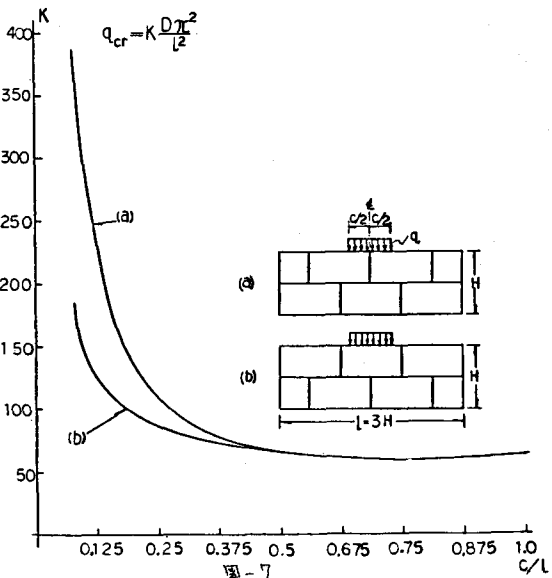


図-7

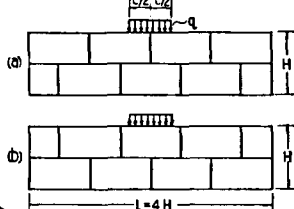
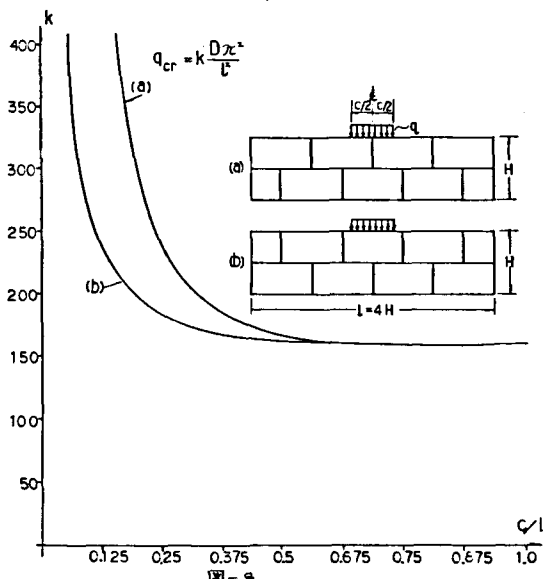


図-8

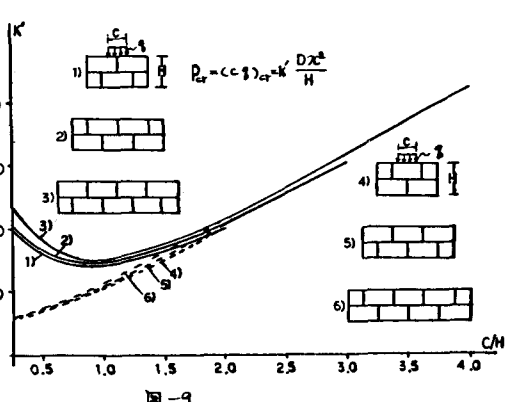


図-9